

**CORRIGÉS DES TRAVAUX DIRIGÉS DE l'UV MT25**

**APPLICATIONS DE L'ALGÈBRE ET DE L'ANALYSE  
À LA GÉOMÉTRIE**

**Printemps 2007**

**Jérôme BASTIEN**

Document compilé le 12 février 2013



## Liste des Travaux Dirigés

Avertissement	3
Correction du Travaux Dirigés 1. Courbes paramétrées	5
Ensemble des figures	6
Correction du Travaux Dirigés 2. Courbes paramétrées en coordonnées polaires	9
Ensemble des figures	9
Correction du Travaux Dirigés 3. Propriétés métriques des courbes paramétrées	13
Ensemble des figures	14



## **Avertissement**

On trouvera dans ce polycopié des éléments de correction pour l'UV MT25

Ces éléments de correction sont très succincts, souvent réduits à la représentation des courbes à étudier, et non exhaustifs.

Ce polycopié est disponible en ligne sur le site <http://utbmjb.chez-alice.fr/UTBM/index.html>

On y trouvera aussi quelques exemples de fonctions et de script matlab.



## CORRECTION DU TRAVAUX DIRIGÉS 1

### Courbes paramétrées

CORRECTION DE L'EXERCICE 1.1.

- (1) Par périodicité et symétrie, on étudie la courbe sur l'intervalle  $[0, \pi]$ , puis effectuer une symétrie par rapport à l'axe  $Oy$ .
- (2) On a

$$\lim_{\substack{t \rightarrow 0 \\ t > 0}} \frac{y'(t)}{x'(t)} = +\infty,$$

et donc la tangente est verticale. Par symétrie, il s'agit d'un point de rebroussement de première espèce.

CORRECTION DE L'EXERCICE 1.2.

- (1) La droite d'équation  $y = x + 1$  est asymptote à la courbe en  $t = \pm\infty$ . De plus, la courbe est au dessus de cette droite en  $-\infty$  et en dessous en  $+\infty$ .
- (2) De

$$x(t) = t + \frac{9}{t} + o\left(\frac{1}{t}\right),$$

$$y(t) = t + 1 + \frac{3}{t} + o\left(\frac{1}{t}\right),$$

pour  $t \rightarrow \pm\infty$ , on déduit

$$y(t) = x(t) + 1 - \frac{6}{t} + o\left(\frac{1}{t}\right) = x(t) + 1 - \left(\frac{6}{t} + o\left(\frac{1}{t}\right)\right),$$

dont on déduit la même conclusion, plus rapidement.

CORRECTION DE L'EXERCICE 1.4.

Les équations  $x(t_1) = x(t_2)$  et  $y(t_1) = y(t_2)$  fournissent

$$(t_1 - t_2)(2t_1 t_2 - t_1 - t_2 + 2) = 0,$$

$$(t_1 - t_2)(t_1 t_2 - t_1 - t_2) = 0.$$

En simplifiant par  $t_1 - t_2$  et en posant  $p = t_1 t_2$  et  $s = t_1 + t_2$ , on aboutit à :  $p = -2$  et  $s = 2$  et donc à

$t_1 = -1 - \sqrt{3}, \quad t_2 = -1 + \sqrt{3},$
$x = -1, \quad y = -2.$

CORRECTION DE L'EXERCICE 1.5.

Voir figure 1.1 page 7 et le script matlab TDcpm\_exo5.m disponible sur le ouaib.

CORRECTION DE L'EXERCICE 1.6.

Voir figure 1.2 page suivante et le script matlab TDcpm\_exo6.m.

CORRECTION DE L'EXERCICE 1.7.

Voir figure 1.3 page 8 et le script matlab TDcpm\_exo7.m.

CORRECTION DE L'EXERCICE 1.8.

Voir figure 1.4 page 8 et le script matlab TDcpm\_exo8.m.

## Ensemble des figures

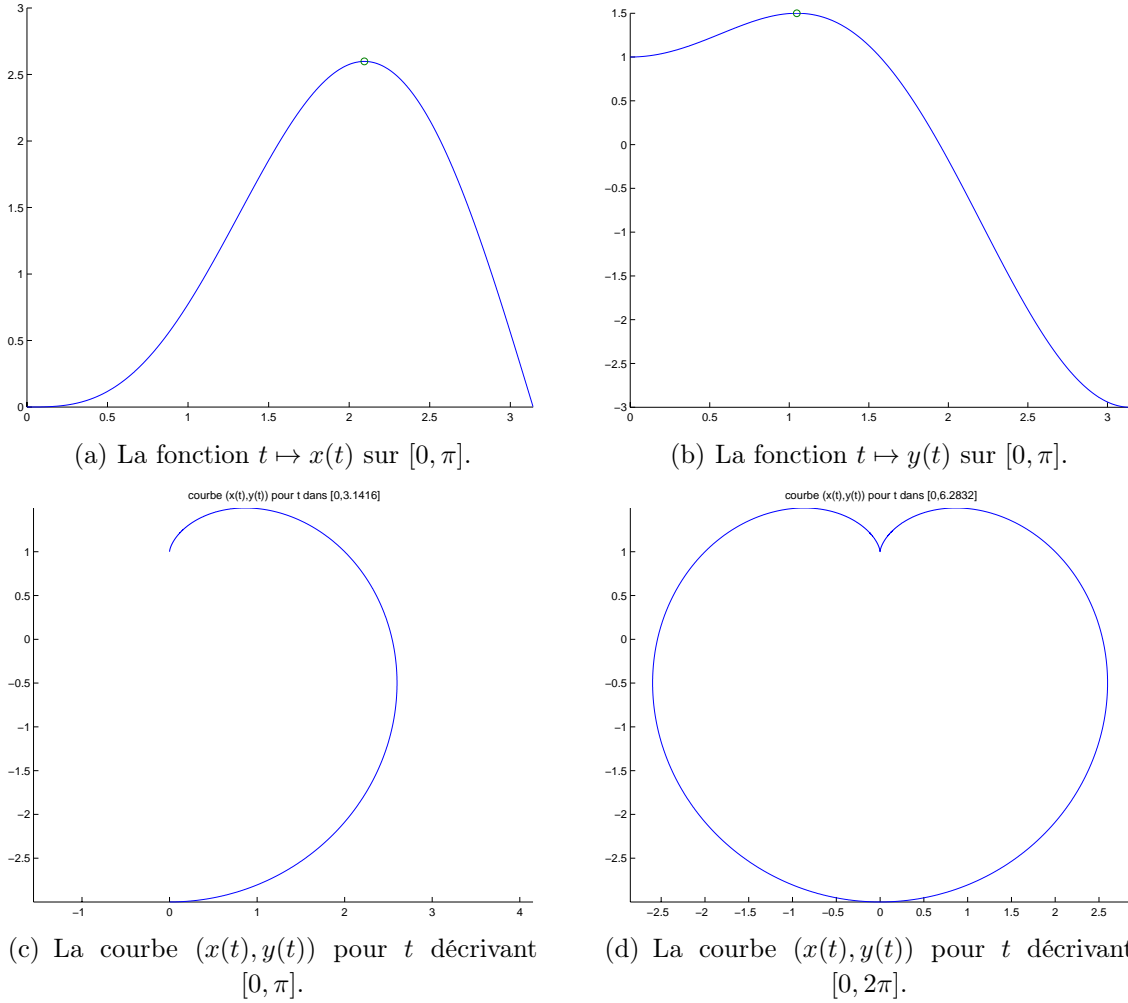
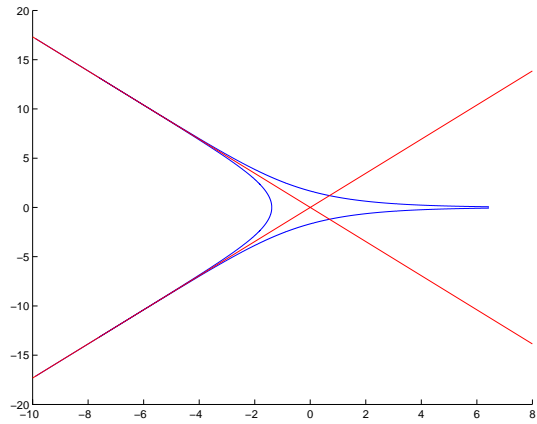
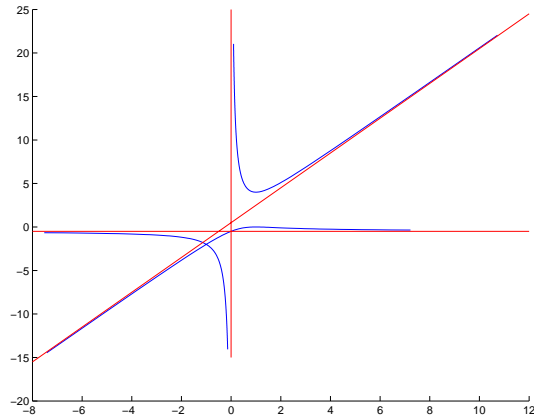
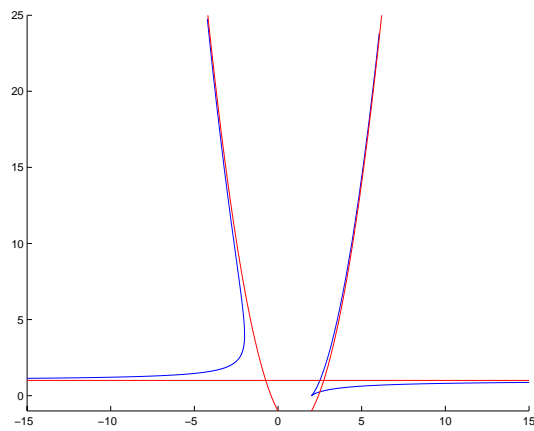


FIGURE 1.1. Diverses courbes relatives à l'exercice 1.5.

FIGURE 1.2. La courbe  $(x(t), y(t))$  de l'exercice 1.6.

FIGURE 1.3. La courbe  $(x(t), y(t))$  de l'exercice 1.7.FIGURE 1.4. La courbe  $(x(t), y(t))$  de l'exercice 1.8.

## CORRECTION DU TRAVAUX DIRIGÉS 2

### Courbes paramétrées en coordonnées polaires

CORRECTION DE L'EXERCICE 2.2.

On a, en posant  $u = \pi - \theta$ ,

$$\sin(\theta - \pi)r(\theta) = -\frac{\sin u}{\sin(u/2)} \sim -\frac{1}{2},$$

expression qui est négative au voisinage de  $\theta = \pi$  et qui tend vers  $-2$  quand  $u$  tend vers zéro.

CORRECTION DE L'EXERCICE 2.3.

Voir la figure 2.1 page suivante et le script matlab `TDcpmpo_exo3.m` disponible sur le ouaib.

CORRECTION DE L'EXERCICE 2.4.

Voir la figure 2.2 page suivante .

CORRECTION DE L'EXERCICE 2.5.

Voir figure 2.3 page 11 et le script matlab `TDcpmpo_exo5.m`, disponible sur le ouaib.

CORRECTION DE L'EXERCICE 2.6.

On montre qu'une équation polaire est

$$r(\theta) = 2a \frac{\sin^2 \theta}{\cos \theta}, \quad (2.1)$$

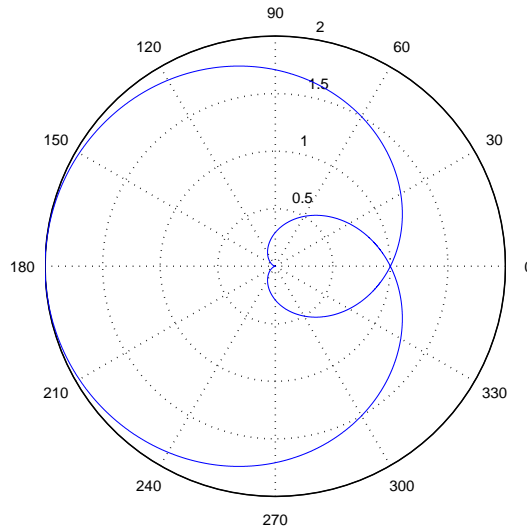
où  $\theta$  décrit  $\mathbb{R} \setminus \{\pi/2 + \pi\mathbb{Z}\}$ .

Voir figure 2.4 page 11 (pour  $a = 1$ ) et le script matlab `TD2_exo5`, disponible sur le ouaib.

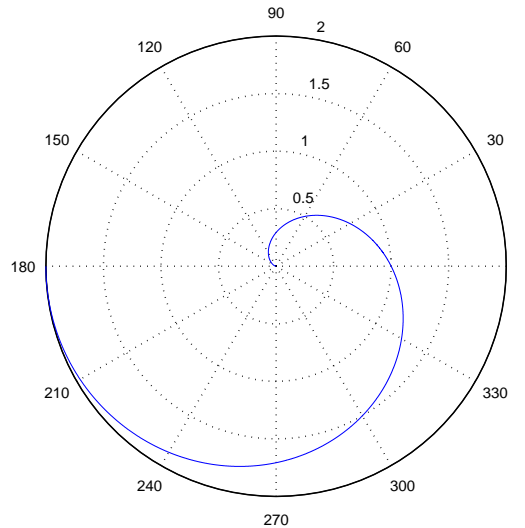
CORRECTION DE L'EXERCICE 2.7.

Voir le script matlab `TDcpmpo_exo7.m`, disponible sur le ouaib.

### Ensemble des figures

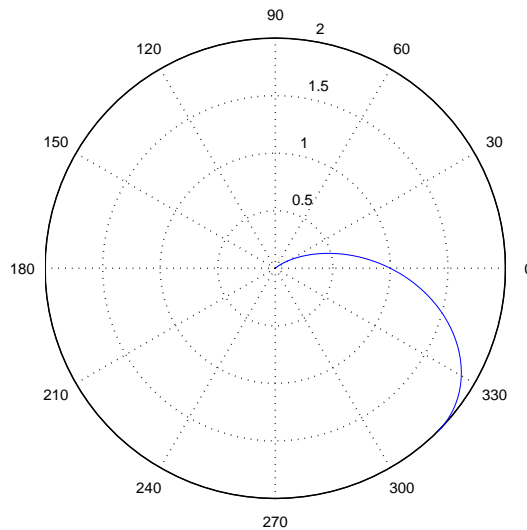


(a) La courbe définie en polaire pour  $\theta \in [-\pi, \pi]$ .

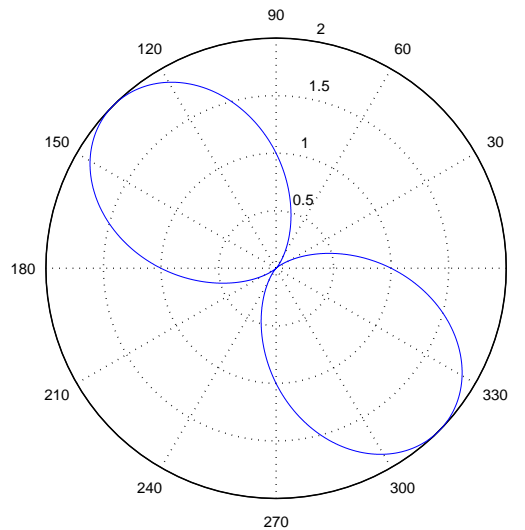


(b) La courbe définie en polaire pour  $\theta \in [-2\pi, 2\pi]$ .

FIGURE 2.1. Diverses courbes relatives à l'exercice 2.3.

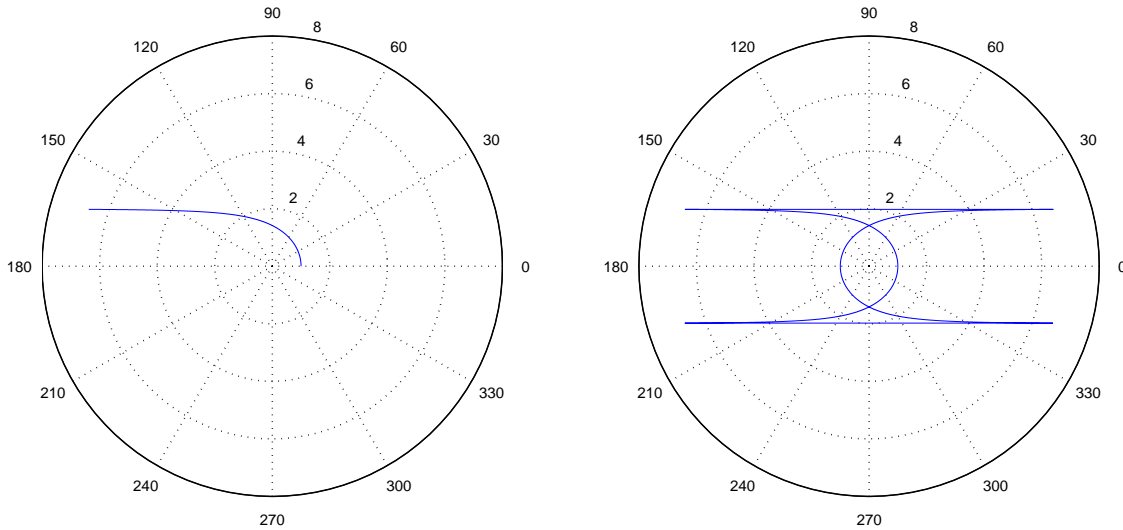


(a) La courbe définie en polaire pour  $\theta \in [-\pi/4, \pi/4]$ .



(b) La courbe définie en polaire pour  $\theta \in [-\pi, \pi]$ .

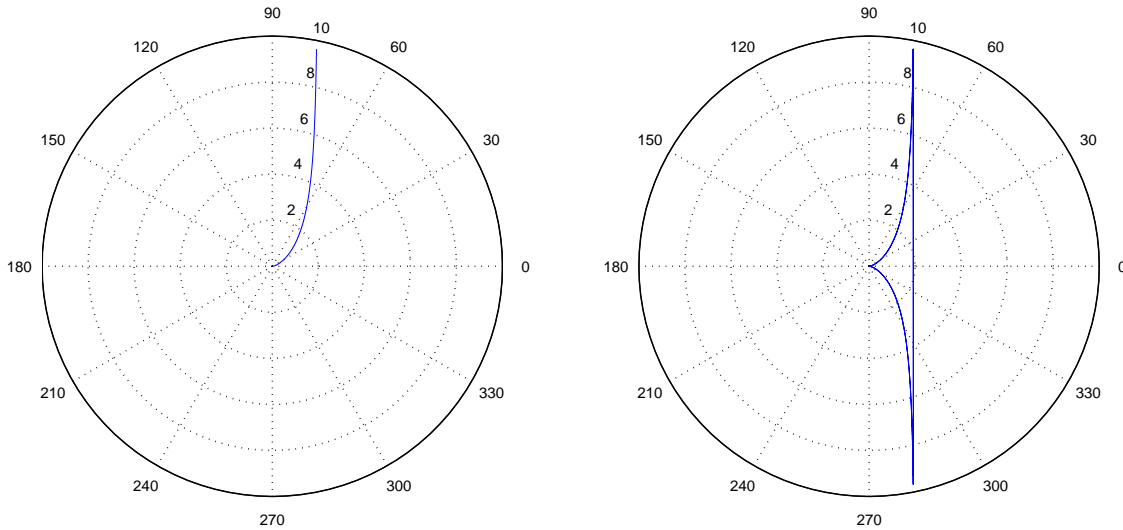
FIGURE 2.2. Diverses courbes relatives à l'exercice 2.4.



(a) La courbe définie en polaire pour  $\theta \in [0, \pi[$ .

(b) La courbe définie en polaire pour  $\theta \in [-2\pi, -\pi[ \cup ]-\pi, \pi[ \cup ]\pi, 2\pi]$ .

FIGURE 2.3. Diverses courbes relatives à l'exercice 2.5.



(a) La courbe définie en polaire pour  $\theta \in [0, \pi/2[$ .

(b) La courbe définie en polaire pour  $\theta \in ]-\pi/2, \pi/2[$ .

FIGURE 2.4. Diverses courbes relatives à l'exercice 2.6 pour  $a = 1$ .



## CORRECTION DU TRAVAUX DIRIGÉS 3

### Propriétés métriques des courbes paramétrées

CORRECTION DE L'EXERCICE 3.1.

- (1) Puisque la longueur de l'arc de cercle  $IM$  et la distance  $OI$  sont égales, on sait que

$$MI = at = OI = x_\Omega.$$

Par définition de l'angle  $t$ , on a

$$\overrightarrow{\Omega M} = -a \left( \sin t \vec{i} + \cos t \vec{j} \right).$$

On a, d'autre part,

$$\overrightarrow{OM} = \overrightarrow{OI} + \overrightarrow{I\Omega} + \overrightarrow{\Omega M},$$

et donc

$$\overrightarrow{OM} = at \vec{i} + a \vec{j} - a \left( \sin t \vec{i} + \cos t \vec{j} \right).$$

On a donc

$$\overrightarrow{OM} = a(t - \sin t) \vec{i} + a(1 - \cos t) \vec{j},$$

et donc

$$x(t) = a(t - \sin t), \tag{3.1a}$$

$$y(t) = a(1 - \cos t). \tag{3.1b}$$

- (2) Pour toute la suite, on pose

$$\forall t \in \mathbb{R}, \quad F(t) = (a(t - \sin t), a(1 - \cos t)). \tag{3.2}$$

– Remarquons que, pour tout  $t$ , on a

$$F(t + 2\pi) = (a(t - \sin t), a(1 - \cos t)) + 2\pi a \vec{i} = F(t) + 2\pi a \vec{i}.$$

On peut donc étudier la courbe sur  $[0, 2\pi]$ ; on aura la totalité de la courbe en faisant des translations de vecteur  $2\pi a k \vec{i}$ , pour  $k \in \mathbb{Z}$ .

D'autre part, si  $t \in [0, \pi]$ , alors  $2\pi - t \in [\pi, 2\pi]$  et

$$\begin{aligned} \frac{1}{2} (x(2\pi - t) + x(t)) &= \pi a, \\ y(2\pi - t) &= y(t), \end{aligned}$$

et on peut donc se restreindre à l'intervalle  $[0, \pi]$  en faisant une symétrie par rapport à la droite d'équation  $x = \pi a$ .

– Il est clair que

$$x'(t) = a(1 - \cos t), \quad (3.3a)$$

$$y'(t) = a \sin t. \quad (3.3b)$$

On en déduit le tableau de variation de  $x$  et  $y$  :

$t$	0	$\pi$
$x'$	0	+
$y'$	0	+
$x$	0	$\nearrow$
$y$	0	$\nearrow$

$a\pi$

$2a$

Le seul point stationnaire correspond à  $t = 0$ , pour lequel on a

$$\frac{y'(t)}{x'(t)} = \frac{\sin t}{1 - \cos t} = \frac{2 \sin(\frac{t}{2}) \cos(\frac{t}{2})}{\sin^2(\frac{t}{2})} = \frac{1}{\tan(\frac{t}{2})},$$

dont la limite pour  $t$  tendant vers zéro vaut l'infini.

On a donc

$$\boxed{\text{Une tangente verticale pour } t = 0.} \quad (3.4)$$

– Voir la figure 3.1 page ci-contre obtenue par matlab TDcpmme\_exo1.m.

(3) Voir le script TDcpmme\_exo1.m. On obtient

$$\boxed{L = 8a.} \quad (3.5)$$

## Ensemble des figures

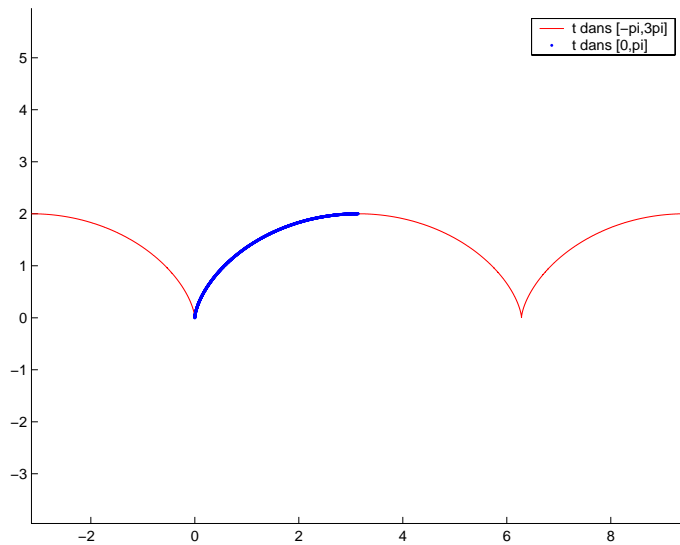


FIGURE 3.1. La courbe  $F$  pour  $a = 1$  pour  $t \in [-\pi, 3\pi]$ .